

МОДЕЛИРОВАНИЕ  
ТЕХНОЛОГИЧЕСКИХ ПРОЦЕССОВ

УДК 621.382550.34.013.4

МОДЕЛИРОВАНИЕ ДЕФЕКТНОЙ СТРУКТУРЫ  
СУПЕРЬЯЧЕЙКИ И ЯВЛЕНИЯ ПЕРЕНОСА В TlInTe<sub>2</sub>

© 2023 г. М. М. Асадов<sup>1, 2, \*</sup>, С. Н. Мустафаева<sup>3</sup>, С. С. Гусейнова<sup>3</sup>, В. Ф. Лукичев<sup>4, \*\*</sup>

<sup>1</sup>Институт катализа и неорганической химии им. М.Ф. Нагиева, Министерство науки и образования Азербайджана, пр. Г. Джавида, 113, Баку, AZ-1143 Азербайджан

<sup>2</sup>Научно-исследовательский институт “Геотехнологические проблемы нефти, газа и химии” АГУНП, пр. Азадлыг, 20, Баку, AZ-1010 Азербайджан

<sup>3</sup>Институт физики, Министерство науки и образования Азербайджана, пр. Г. Джавида, 13, Баку, AZ-1143 Азербайджан

<sup>4</sup>Физико-технологический институт им. К.А. Валиева РАН, Нахимовский просп., 36, корп. 1, Москва, 117218 Россия

\*E-mail: mirasadov@gmail.com

\*\*E-mail: lukichev@ftian.ru

Поступила в редакцию 19.09.2022 г.

После доработки 21.09.2022 г.

Принята к публикации 22.09.2022 г.

Локальное окружение атомов в полупроводниковом соединении TlInTe<sub>2</sub> с тетрагональной сингонией исследовано методом теории функционала плотности (DFT). Введение точечного дефекта (вакансий индия) в решетку TlInTe<sub>2</sub> моделировалось с использованием суперъячеек. DFT-моделирование электронных свойств (полные и локальные парциальные плотности состояний электронов (PDOS)) проводилось как для примитивной ячейки TlInTe<sub>2</sub> (16 атомов на элементарную ячейку), так и для дефектной суперъячейки TlInTe<sub>2</sub>–V<sub>In</sub> (где V<sub>In</sub> – вакансия In) состоящей из 32 атомов. DFT-GGA расчеты зонной структуры TlInTe<sub>2</sub>–V<sub>In</sub> показали, что ширина запрещенной зоны ( $E_g$ ) составляет  $E_g = 1.21$  эВ. Это значение значительно отличается от экспериментального значения. Для корректировки взаимодействия частиц в решетке использовали модель Хаббарда. Рассчитанная DFT-GGA + U (U – потенциал Хаббарда) способом запрещенная зона TlInTe<sub>2</sub>–V<sub>In</sub> составляет  $E_g = 0.97$  эВ. Для суперъячейки TlInTe<sub>2</sub>–V<sub>In</sub> вычислены энергии образования вакансии, химический потенциал индия, а также стандартная энталпия образования TlInTe<sub>2</sub>. При объяснении влияния различных факторов на явления переноса в TlInTe<sub>2</sub>, их теплопроводность и электропроводность использованы как DFT-расчетные, так и экспериментальные данные. С учетом экспериментальных данных для кристаллов *p*-TlInTe<sub>2</sub> установлен механизм проводимости в направлении структурных цепочек (*c*-оси кристалла). В интервале температур  $T = 148$ –430 К оценили величину запрещенной зоны  $E_g = 0.94$  эВ и энергию активации примесной проводимости  $E_i = 0.1$  эВ (при 210–300 К). При температурах  $T \leq 210$  К в кристаллах *p*-TlInTe<sub>2</sub> имеет место прыжковая проводимость на постоянном токе. С учетом этого для *p*-TlInTe<sub>2</sub> вычислены следующие физические параметры: плотность состояний, локализованных вблизи уровня Ферми, их энергетический разброс и среднее расстояние прыжков.

**Ключевые слова:** моделирование, *ab-initio* расчет, электронная структура, TlInTe<sub>2</sub>, точечный дефект, In-вакансия, плотность состояний электронов, перенос заряда

**DOI:** 10.31857/S0544126922700181, **EDN:** CXXQYI

## 1. ВВЕДЕНИЕ

Разработка новых принципов работы и полупроводниковых материалов, повышающих функциональность, быстродействие и компактность электронных устройств, является актуальной задачей. В этом плане, повышение эффективности термоэлектрических материалов является важной задачей. Расчет электронной зонной структуры

материала позволяет корректировать его состав и свойства. Другими словами, теоретическими и экспериментальными исследованиями зависимости состав-свойства-кристаллическая структура-электронная структура можно улучшить термоэлектрические характеристики материалов. Технология изготовления, в частности, полупроводниковых термоэлектрических устройств развивается таким образом.

Связь между тепловыми и электрическими процессами в полупроводниках вызывает термоэлектрические явления. В этом случае важным является выбор современных термоэлектрических материалов. Одним из таких материалов является полупроводник TlInTe<sub>2</sub> [1–4]. В TlInTe<sub>2</sub> ширина запрещенной зоны меняется в зависимости от стехиометрического состава. Наш интерес к материалам на основе TlInTe<sub>2</sub> стимулируется изучением электронных свойств. Изменение свойств в кристаллах TlInTe<sub>2</sub> может произойти, в частности, при дефектообразовании, замещении как катионов, так и анионов.

Структурные и электронные свойства кристаллов TlInTe<sub>2</sub> исследованы экспериментально [1, 2] и теоретически [3, 4]. Однако влияние состава на дефектную зонную структуру TlInTe<sub>2</sub> не изучено, а это необходимо для изучения характеристик материала с заданными свойствами. Появление дефектов в решетке кристаллов приводит к изменениям также электронной структуры. Кроме того, концентрация адсорбированных атомов на поверхности и скорость их миграции оказывают влияние на концентрацию вакансий в кристалле.

TlInTe<sub>2</sub> имеет многодолинную зонную структуру [3, 4]. Такая структура способствует высоким коэффициентам Зеебека и термоэлектрической добротности TlInTe<sub>2</sub>. Кроме того из-за слабой связи катионов Tl<sup>+</sup> с другими ионами и сильного фононного ангармонизма структуры TlInTe<sub>2</sub> имеет низкую решеточную теплопроводность ( $k_l = 0.37 \text{ В/(м К)}$ ) при комнатной температуре. Это значение теплопроводности в несколько раз меньше по сравнению со значением  $k_l$  для термоэлектрических материалов Bi<sub>2</sub>Te<sub>3</sub> (1.4 В/(м К)) и PbTe (1.95 В/(м К)). Из-за низкого значения  $k_l$  термоэлектрическая добротность материала TlInTe<sub>2</sub> при комнатной температуре сильно повышается и может достигать 1.78 и 1.84 для *p*- и *n*-типа TlInTe<sub>2</sub> соответственно.

В этой работе мы исследуем два объекта: суперъячейку TlInTe<sub>2</sub> с точечными дефектами (вакансии индия V<sub>In</sub>) и кристаллы TlInTe<sub>2</sub>. Аналогично бинарному соединению TlSe (тетрагональная сингония, пространственная группа (пр. гр.)  $D_{4h}^{18} - I4/mcm$ ;  $a = 8.02 \text{ \AA}$  и  $c = 7.00 \text{ \AA}$ ,  $Z = 4$ .  $T = 300 \text{ K}$ ) тройное соединение TlInTe<sub>2</sub> также имеет объемно-центрированную тетрагональную структуру [5].

## 2. МОДЕЛЬ И МЕТОДИКА РАСЧЕТОВ

В рамках теории функционала плотности (DFT) проведены расчеты зонной электронной структуры с дефектом типа вакансия суперъячеек TlInTe<sub>2</sub>. Расчеты проводили с помощью программного пакета

ATK [6–8]. Для расчетов использовали функционалы, учитывающие как локальный, так и нелокальные обмены частиц в кристалле TlInTe<sub>2</sub>. Использовали электронные конфигурации нейтральных атомов в их основных состояниях: Tl – [Xe] 4f<sup>14</sup> 5d<sup>10</sup> 6s<sup>2</sup> 6p<sup>1</sup>, In – [Kr] 4d<sup>10</sup> 5s<sup>2</sup> 5p<sup>1</sup>, Te – [Kr] 4d<sup>10</sup> 5s<sup>2</sup> 5p<sup>4</sup>. DFT-расчеты проводили как для элементарной ячейки TlInTe<sub>2</sub> (16 атомов на элементарную ячейку), так и для суперъячейки TlInTe<sub>2</sub>–V<sub>In</sub> (суперъячейка из 32 атомов).

Метод DFT реализовывали в рамках приближения обобщенного градиента (Generalized Gradient Approximation-GGA) [6–8]. Электронно-ионные взаимодействия учитывались через псевдопотенциалы с использованием обменно-корреляционного функционала PBE [9]. Функционал GGA по сравнению с приближением локальной плотности (LDA), согласно предварительным расчетам, позволяет адекватно описывать свойства TlInTe<sub>2</sub> при образовании вакансий индия V<sub>In</sub>.

DFT-расчеты TlInTe<sub>2</sub>–V<sub>In</sub> проводились в следующей последовательности. Элементарную кристаллическую ячейку TlInTe<sub>2</sub> релаксировали и оптимизировали с допусками к силе и напряжению 0.01 и 0.01 эВ/Å<sup>3</sup> соответственно. Принимали, что при релаксации ячейки в стационарной точке на поверхности потенциальной энергии силы, действующие на атомы, равны нулю. Оптимизация геометрии и расчеты полной энергии по зоне Бриллюэна TlInTe<sub>2</sub> с тетрагональной сингонией (рис. 1) проводились в суперъячейке TlInTe<sub>2</sub>–V<sub>In</sub> (32 атома на элементарную ячейку). Интегрирование в обратном пространстве и вычисления электронной плотности проведены по схеме Монкхорста–Пака [10] с сеткой 2 × 2 × 2 *k*-точек зоны Бриллюэна. Рассчитаны зонная структура (BS), общая и локальные парциальные плотности состояний (PDOS) для всех атомов в элементарной ячейке TlInTe<sub>2</sub>. Кинетическая энергия отсечки составляла 500 эВ.

Оптимизацию считали завершенной, когда вычисленные энергетические градиенты были ниже порогового значения потенциальной энергии. Таким образом, расчеты структурных и энергетических характеристик выполняли для оптимизированной структуры TlInTe<sub>2</sub>, соответствующей минимуму энергии.

Величину ширины запрещенной зоны ( $E_g$ ) суперъячейки TlInTe<sub>2</sub>–V<sub>In</sub> корректировали с использованием функционала GGA + U (U – параметр кулоновского взаимодействия) [11–13]. В этом случае учитывали вклад *d*-составляющей атомов Tl, In и Te, который повышает силу ковалентной связи в энергетическом зазоре  $E_g$ .

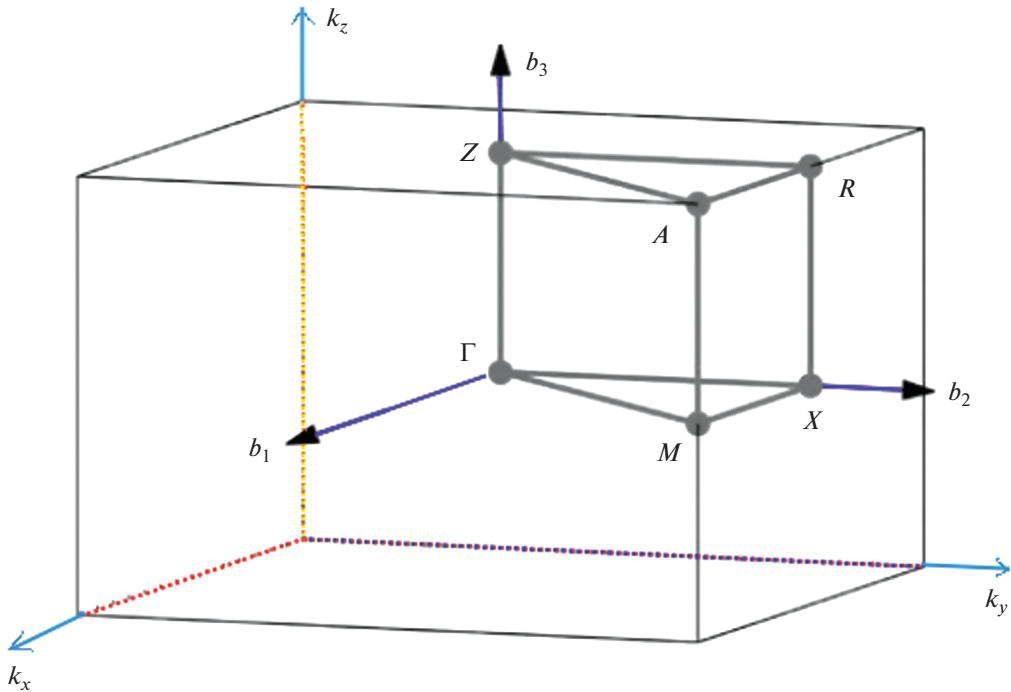


Рис. 1. Первая зона Бриллюэна кристалла  $\text{TlInTe}_2$  с тетрагональной сингонией.

### 3. РЕЗУЛЬТАТЫ И ОБСУЖДЕНИЕ

#### 3.1. Модели парного взаимодействия

В модели ионного кристалла, последний состоит из положительных и отрицательных ионов. За счет кулоновского притяжения электрических зарядов происходит их объединение. Также существуют другие силы притяжения атомов, которые имеют дисперсионную природу. В квантовой механике электроны в атоме находятся в непрерывном движении, и в заданный момент система “электрон-остов” представляет собой мгновенный диполь.

В ионном кристалле дисперсионные силы притяжения (Ван-дер-Ваальсово взаимодействие) возникают за счет взаимодействия диполей между атомами. Эти силы спадают с увеличением расстояния между частицами. В модели Борна–Майера [14] ионное парное взаимодействие представляется в виде:  $V_{ij}(R_{ij}) = Z_i Z_j / R_{ij} + \lambda_{ij} \exp(-R_{ij}/\rho_{ij}) - c_{ij} / R_{ij}^6$ , где  $Z = ze$  – заряд иона,  $\lambda$  – предэкспоненциальный множитель перед потенциалом отталкивания,  $\lambda_{ij}$  – силовой параметр Ван-дер-Ваальсова взаимодействия,  $\rho_{ij}$  – эмпирический параметр жесткости,  $c_{ij}$  – параметр диполь–дипольного взаимодействия. В молекуле заряды взаимодействуют с силой  $z^2(e^2/R^2)$ , где  $z$  – заряд иона,  $e$  – заряд электрона,  $R$  – расстояние между центрами двух (и/или трех) сферических ионов. Суммарное кулоновское отталкивание иона оказывается меньше

суммарного кулоновского притяжения в ионном кристалле. Модель ионного кристалла позволяет оценить энергию решетки, упругие и термические свойства соединений.

Из-за частично ковалентного характера химических связей в полупроводниках (например,  $\text{TlInTe}_2$ ;  $\text{Ti}^{+}\text{In}^{3+}\text{Te}^{2-}$ ) использование потенциала в форме Борна–Майера не корректно. Вклад ковалентной связи в электростатических взаимодействиях учитывается различными способами. Например, вместо формальных зарядов  $z_i$  используют эмпирические эффективные атомные заряды  $fz_i$ . Здесь степень ионного вклада связи  $f$  меняется от 0 (чисто ковалентная связь) до 1 (чисто ионная связь):  $V_{ij}(R_{ij}, f) = f^2 Z_i Z_j / R_{ij} + \lambda_{ij} \exp(-R_{ij}/\rho_{ij}) - c_{ij} / R_{ij}^6$ . Такой подход понижает величину электростатических взаимодействий. С целью увеличения жесткости связи на коротких расстояниях в металлических системах часто используется потенциал Морзе ( $V_M$ ):  $V_M = D_{ij} \left[ 1 - \exp[-\sigma_{ij} (R_{ij}^0 - R_{ij})]^2 \right] - D_{ij}$ , где  $R_{ij}^0$  – сумма ковалентных радиусов  $i$  и  $j$  при минимуме потенциала,  $D_{ij}$  – энергия диссоциации ковалентной связи  $i - j$ ,  $\sigma_{ij}$  – параметр мягкости потенциала Морзе ( $\sigma_{ij} \equiv 1/2\rho_{ij}$ ).

С учетом вышеуказанных моделей полный парный потенциал в ионно–ковалентном приближении можно записать в вид:

$$V_{ij}(R_{ij}, f) = f^2 \left[ \frac{Z_i Z_j}{R_{ij}} + \lambda_{ij} \exp\left(-\frac{R_{ij}}{\rho_{ij}}\right) \right] - (1-f^2) D_{ij} \left\{ \exp\left[2\sigma_{ij}(R_{ij}^0 - R_{ij})\right] - 2 \exp\left[\sigma_{ij}(R_{ij}^0 - R_{ij})\right] - c_{ij}/R_{ij}^6 \right\}.$$

Химические связи в полупроводниковых соединениях не могут быть описаны только в ионном или только в ковалентном приближении. В халькогенидах химические связи представляют сумму между ионным и ковалентным типами связи.

Кристаллические структуры соединений  $\text{TIMX}_2$  ( $M = \text{In, Ga}$ ;  $X = \text{S, Se, Te}$ ) [11, 15–19] можно описать как чередующиеся атомные цепочки и/или слои с разной электронной плотностью. Вследствие цепочечно-слоистой структуры такие материалы обладают уникальными механическими, магнитными, оптическими и термоэлектрическими свойствами. Объяснение физических свойств таких анизотропных кристаллических структур требует понимания природы химической связи и заполнения орбит в электронной структуре. Расстояния и силы связи между частицами в различных направлениях в кристаллах  $\text{TIMX}_2$  неодинаковы, что приводит к анизотропии.

Нарушение стехиометрического соотношения между компонентами, например, в  $\text{TlInTe}_2$  может приводить к формированию точечных дефектов и изменению свойств.  $\text{TlInTe}_2$  с нейтральными вакансиями является примером материала с дефектной структурой.

Исходя из ионной формулы  $\text{TlInTe}_2$  ( $\text{Tl}^+ \text{In}^{3+} \text{Te}_2^{2-}$ ) примем, что каждый катион  $\text{In}^{3+}$  образует четыре ковалентные связи с четырьмя ближайшими анионами  $\text{Te}_2^{2-}$ . За счет этого в структуре  $\text{TlInTe}_2$  вдоль  $c$ -оси кристалла формируются “цепочки” типа  $\text{In}-\text{Te}$ . Эти цепочки распространяются вдоль тетрагональной  $c$ -оси кристалла  $\text{TlInTe}_2$ , и они связываются между собой катионами  $\text{Tl}^+$ . В элементарной ячейке  $\text{TlInTe}_2$  каждый катион  $\text{Tl}^+$  окружен восемью анионами  $\text{Te}_2^{2-}$  и при этом кристаллическая решетка искажается.

### 3.1.1. Суперъячейка

Для изучения особенностей электронных свойств и зонной структуры, в частности, полупроводниковых соединений типа  $\text{TIMX}_2$  применяются неэмпирические квантовые расчеты [19]. В этом случае из экспериментальных данных используются только заряды ядер атомов. Условные вклады (ионная, ковалентная, донорно-акцепторная, металлическая связь) в химическую связь не используются. Рассчитывают распределение электронной плотности в поле нескольких ядер.

Экспериментальные исследования электронной структуры нестехиометрического соединения  $\text{TlInTe}_2$  отсутствуют.

Рассмотрим результаты моделирования структуры  $\text{TlInTe}_2-\text{V}_{\text{In}}$  в 32-атомной суперъячейке. Кристаллическую решетку (рис. 2 [4]) предварительно релаксировали и в такой решетке создавали вакансию индия ( $\text{V}_{\text{In}}$ ).

На рис. 3 приведена структура суперъячейки  $\text{TlInTe}_2$  с вакансией индия. В дефектной структуре  $\text{TlInTe}_2-\text{V}_{\text{In}}$  вакансия  $\text{V}_{\text{In}}$  окружена неспаренными электронами атомов теллура. В этом случае вакансия  $\text{V}_{\text{In}}$  может принимать электроны и связываться с другими атомами  $\text{TlInTe}_2$ . Тогда в структуре  $\text{TlInTe}_2-\text{V}_{\text{In}}$  вакансия  $\text{V}_{\text{In}}$  заряжается отрицательно и выполняет функцию акцептора (полупроводник  $p$ -типа). Наоборот, если в  $\text{TlInTe}_2$  имеется вакансия теллура  $\text{V}_{\text{Te}}$ , которая окружена неспаренными электронами атомов In, то вакансия  $\text{V}_{\text{Te}}$  должна быть донором (полупроводник  $n$ -типа).

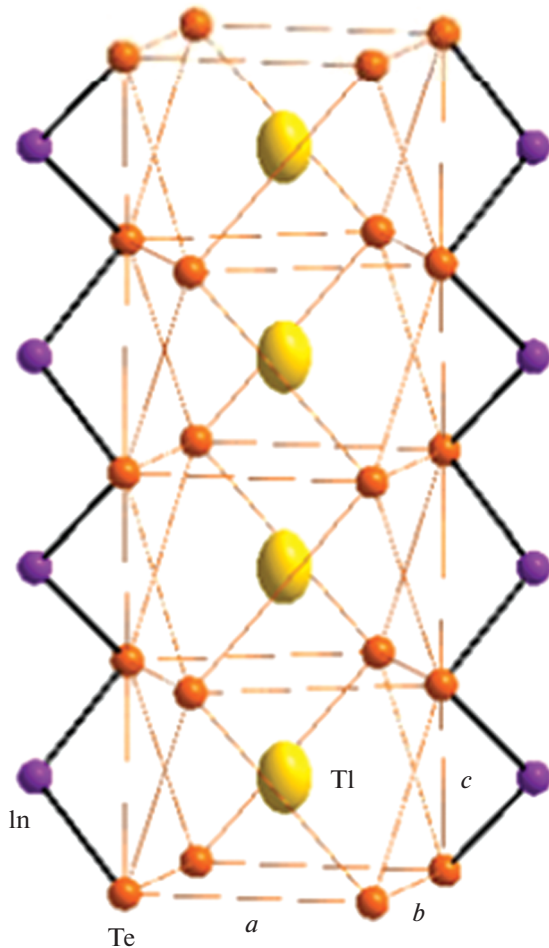


Рис. 2. Структура суперъячейки  $\text{TlInTe}_2$ , содержащей 32 атома.

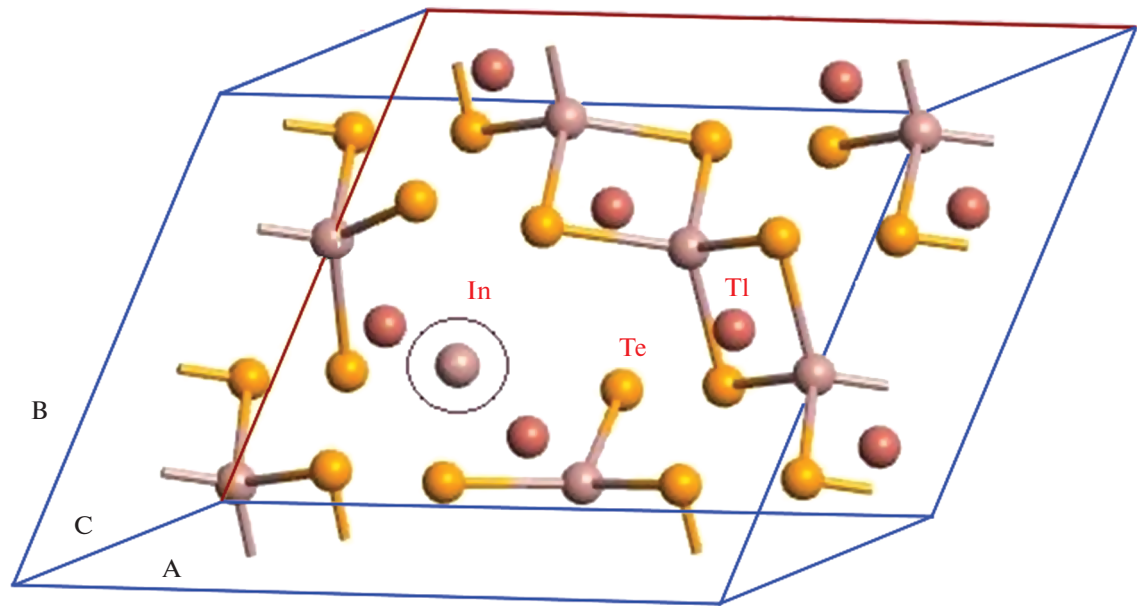


Рис. 3. Суперъячейка  $\text{TlInTe}_2$ , содержащая 32 атома и вакансию индия.

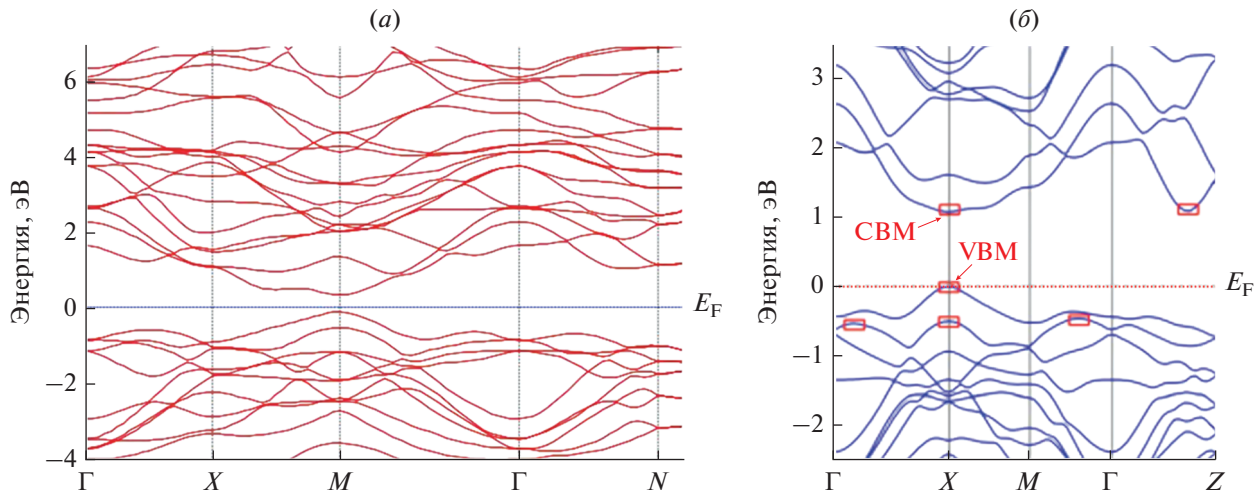


Рис. 4. DFT-GGA + U рассчитанная зонная структура суперъячейки  $\text{TlInTe}_2$ , состоящей из 32 атомов и вакансии индия.

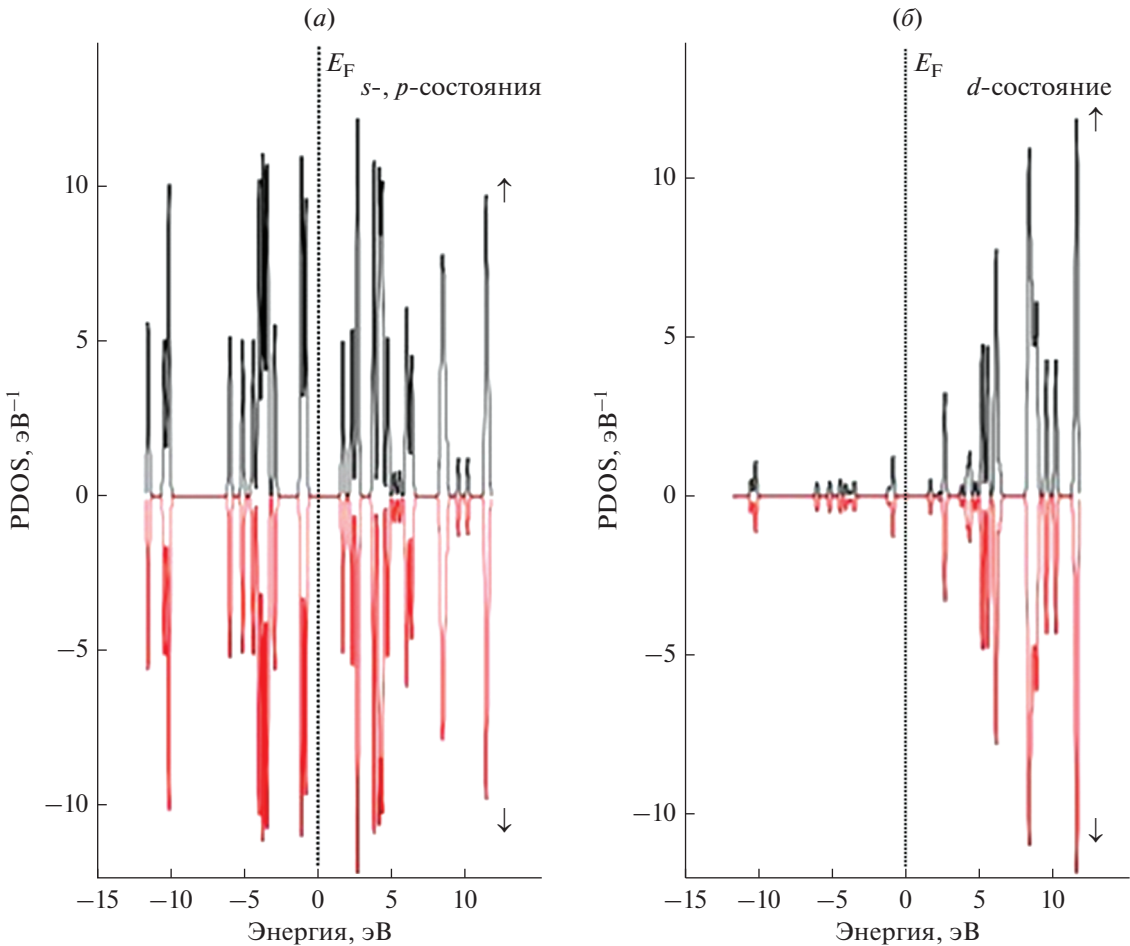
### 3.1.2. Зонная структура

На рис. 4 приведена DFT-GGA + U рассчитанная зонная структуры суперъячейки  $\text{TlInTe}_2-\text{V}_{\text{In}}$  с вакансией индия. Валентная зона состоит из двух областей, разделенных непрямой щелью ( $\sim 0.1$  эВ). Дно валентной полосы наблюдается в точке  $\Gamma$  зоны Бриллюэна ниже энергии  $-4$  эВ. Энергетические зоны вблизи уровня Ферми ( $E_F$ ) не имеют заметной дисперсии в направлении  $\Gamma M$  и  $\Gamma Z$ , что указывает на слабое взаимодействие между

атомными слоями в кристаллической структуре  $\text{TlInTe}_2-\text{V}_{\text{In}}$ .

Сравнение DFT расчетных данных для  $\text{TlInTe}_2-\text{V}_{\text{In}}$  (рис. 4 $a$ ) и  $\text{TlInTe}_2$  (рис. 4 $b$ , [3]) показывает, что энергетические зоны, распределения плотностей электронных состояний и топология поверхности Ферми этих структур аналогичны.

Рассмотрим значение  $E_g$  в  $\text{TlInTe}_2$ , которое характеризует минимальную энергию перехода элек-



**Рис. 5.** DFT-GGA + U рассчитанная парциальная плотность состояний электронов (PDOS) в суперъячейке TlInTe<sub>2</sub>-V<sub>In</sub>, содержащей 32 атома. а) s-, p-состояния, б) d-состояния атомов Tl, In и Te вблизи уровня Ферми. 0 эВ соответствует уровню Ферми. Спин-вверх ( $\uparrow$ ) и спин-вниз ( $\downarrow$ ) состояния атомов.

трана из валентной зоны в зону проводимости. DFT-GGA расчетное значение запрещенной зоны  $E_g$  суперъячейки TlInTe<sub>2</sub>-V<sub>In</sub> было ( $E_g = 1.21$  эВ) выше, чем экспериментальное значение  $E_g$  для TlInTe<sub>2</sub> [5]. Рассчитанная нами DFT-GGA + U способом запрещенная зона TlInTe<sub>2</sub>-V<sub>In</sub> составляет  $E_g = 0.97$  эВ (рис. 4a), что близко к экспериментальным значениям для TlInTe<sub>2</sub>.

### 3.1.3. Плотность состояний

На рис. 5а, б показаны распределения парциальных электронных плотностей состояний (PDOS) атомов Tl, In и Te в суперъячейке TlInTe<sub>2</sub> с In-вакансиями. Анализ PDOS вкладов отдельных атомов TlInTe<sub>2</sub>-V<sub>In</sub> показывает, что нижняя часть валентной зоны (в интервале от -5.5 до 5.5 эВ) образована, сначала 5p-состояниями теллура. По мере увеличения энергии вклад в DOS начинают

давать гибридизованные In 4d- и Tl 6p-состояния. Поэтому в зонной структуре TlInTe<sub>2</sub>-V<sub>In</sub> верхняя часть валентной зоны (от -1.9 эВ до  $E_F$ ) и дно зоны проводимости определяются 4d-состояниями атомов индия. Состояния таллия не вносят значительного вклада в DOS в рассматриваемой энергетической области (рис. 5а, б).

PDOS спин-вверх ( $\uparrow$ ) и спин-вниз ( $\downarrow$ ) состояний атомов в TlInTe<sub>2</sub>-V<sub>In</sub> аналогичны. PDOS s-, p-, d-состояний атомов Tl, In и Te указывает на то, что в TlInTe<sub>2</sub>-V<sub>In</sub> общий локальный магнитный момент составляет 0.00  $\mu_B$ .

Из DOS следует, что присутствие в структуре монослоя тетрагонального TlInTe<sub>2</sub> In-вакансий приводит к изменению электронной структуры в области запрещенной зоны. В халькогенидных материалах анионные вакансии могут формировать на поверхности кристаллитов поверхностные состояния акцепторного типа. Они могут привести к из-

**Таблица 1.** Рассчитанные нами параметры тетрагонального кристалла на основе TlInTe<sub>2</sub> (пр. гр.  $D_{4h}^{18}$  –  $I4/mcm$ )

Параметр	DFT-GGA + U расчет ( $\text{TlInTe}_2\text{-V}_{\text{In}}$ )	Литература ( $\text{TlInTe}_2$ )
$E_g$ , эВ	0.97	0.963 $E \perp c$ , 0.976 $E \parallel c$ $T = 290$ К [5] 0.72 [2], 0.650 [21], 0.66 [22]
$a$ и $c$ , Å	8.111 и 7.177	8.494 и 7.181 [1, 5], 8.704 и 7.325 [3] 7.160 и 7.160 [21]
$-\Delta_f H_{298}^\circ$ , эВ	1.523	1.452 [21]

гибу электронных зон у поверхности материала [19]. А микропримеси и точечные дефекты в этих кристаллатах могут формировать поверхностные состояния донорного типа. В зависимости от энергии этих донорных состояний, а также от величины поверхностной плотности халькогенидных вакансий, акцепторные состояния могут заполняться электронами с поверхностных донорных состояний. В этом случае за счет искривления зон у поверхности халькогенида величина и знак поверхностного заряда могут измениться. Таким образом,

формирование In-вакансий в  $\text{TlInTe}_2$  может повысить поверхностную плотность состояний в кристаллатах.

### 3.1.4. Энергию образования вакансии

Энергию образования  $E_f^{\text{V}_{\text{In}}^x}$  нейтральной вакансии индия в In-подрешетке суперъячейки  $\text{TlInTe}_2\text{-V}_{\text{In}}$  вычисляли по уравнению [8]

$$E_f^{\text{V}_{\text{In}}^x} = E_{\text{tot}}^{\text{V}_{\text{In}}^x + \text{bulk}} [\text{Tl}(\text{In})_{n-1} (\text{Te}_2)_n] - E_{\text{tot}}^{\text{bulk}} [\text{Tl}(\text{In})_n (\text{Te}_2)_n] + \mu_{\text{In}}, \quad (1)$$

где  $E_{\text{tot}}^{\text{V}_{\text{In}}^x + \text{bulk}}$  – полная энергия суперъячейки объемного вещества (bulk) с нейтральной вакансией индия  $\text{V}_{\text{In}}^x$ ,  $E_{\text{tot}}^{\text{bulk}}$  – полная энергия суперъячейки объемного  $\text{TlInTe}_2$  без In-вакансии,  $n$  – количество атомов в суперъячейке  $\text{TlInTe}_2$ ,  $\mu_{\text{In}}$  – химический потенциал In (т.е. энергия добавления одной частицы в систему без совершения работы).

Рассчитанное нами значение  $\mu_{\text{In}} = 2.11$  эВ соответствует значению  $\mu_{\text{In}} = 2.14$  эВ [20]. DFT-расчет энергии образования In-вакансии в суперъячейке  $\text{TlInTe}_2\text{-V}_{\text{In}}$  составлял:  $E_f^{\text{V}_{\text{In}}^x} = 1.17$  эВ.

### 3.1.5. Энталпия образования

Стандартная энталпия образования  $(\Delta_f H_T^\circ)$   $\text{TlInTe}_2$  при температуре  $T$  вычисляется уравнением

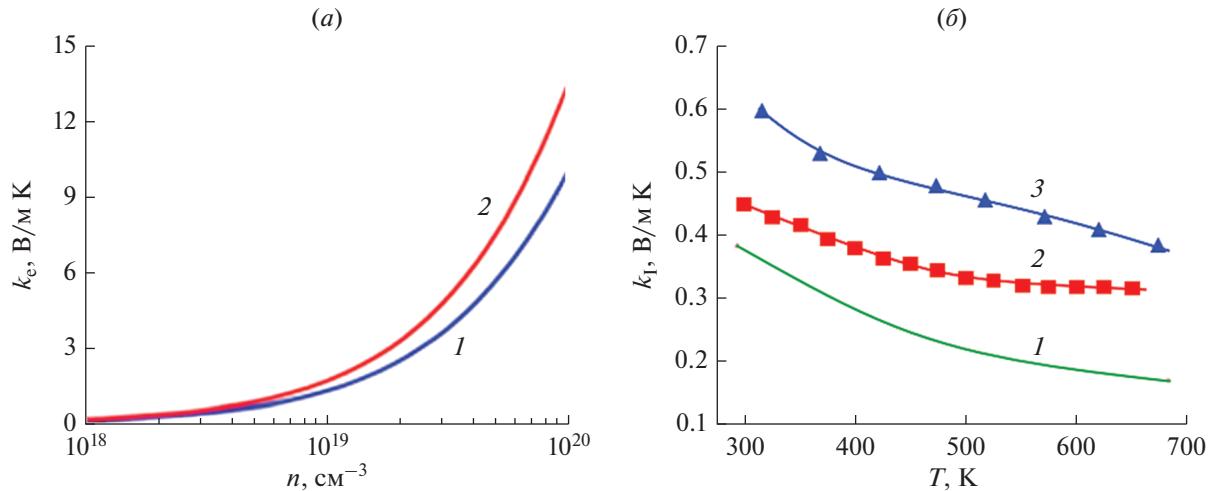
$$\Delta_f H_T^\circ (\text{TlInTe}_2) = \Delta_f H_0^\circ (\text{TlInTe}_2) + \int_0^T [\Delta C_p (\text{TlInTe}_2)] dT \approx \Delta_f H_0^\circ (\text{TlInTe}_2). \quad (2a)$$

Рассчитанное значение теплоемкости ( $\Delta C_p$ ) твердого  $\text{TlInTe}_2$  с учетом справочных данных неизначительно отличается от суммы теплоемкостей компонентов:  $C_p(\text{Tl}) + C_p(\text{In}) + C_p(\text{Te}_2)$ . Это соответствует правилу Неймана–Коппа, согласно которому теплоемкость химического соединения при

комнатной температуре равна сумме теплоемкостей составляющих его элементов. Если вклады  $C_p$  в уравнении (2a) принимать равными нулю, то энталпию образования  $\text{TlInTe}_2$  при  $T$  можно выразить как изменение внутренней энергии  $\Delta_f U_0^\circ (\text{TlInTe}_2)$

$$\Delta_f H_T^\circ (\text{TlInTe}_2) = \Delta_f U_0^\circ (\text{TlInTe}_2) = E_{\text{tot}}^\circ (\text{TlInTe}_2) - [E_{\text{tot}}^\circ (\text{Tl}) + E_{\text{tot}}^\circ (\text{In}) + 2E_{\text{tot}}^\circ (\text{Te})], \quad (2b)$$

где  $E_{\text{tot}}^\circ$  – полная стандартная энергия суперъячейки  $\text{TlInTe}_2$  на формульную единицу.



**Рис. 6.** Расчетные электронный и фононный вклады теплопроводности как функции плотности носителей (при  $T = 298$  К) и температуры. а) кривые 1 и 2 обозначают  $p$ - и  $n$ -легированный  $\text{TlInTe}_2$  соответственно [3]. б) кривая 1 – [3], кривая 2 – [25], кривая 3 – [4].

DFT-GGA + U рассчитанная таким образом энталпия образования  $\Delta_f H_{298}^\circ$  ( $\text{TlInTe}_2$ ) составляет  $-1.523$  эВ, которая согласуется с данными [21]. Также наблюдается согласие результатов расчетов и экспериментов по определению других параметров кристалла на основе  $\text{TlInTe}_2$  (табл. 1).

### 3.2. Явления переноса

#### 3.2.1. Тепловые свойства

Легированные полупроводники, как известно, являются эффективными термоэлектриками [23]. Добротность термоэлектрических материалов  $ZT = \frac{\sigma S^2}{k} T$ , где  $\sigma$  – электропроводность,  $S$  – коэффициент Зеебека,  $k$  – теплопроводность,  $T$  – абсолютная температура. Здесь  $\sigma = \frac{1}{\rho} = e n \mu$ , где  $e$  – заряд электрона,  $n$  – концентрация основных носителей заряда,  $\mu$  – подвижность. Параметр  $ZT$  зависит от различных факторов, в частности, от ширины запрещенной зоны. Для прямозонных материалов  $E_g$  больше  $6k_B T$  [24], где  $k_B$  – постоянная Больцмана. При значении  $E_g < 6k_B T$  в системе появляются неосновные носители заряда. А уровень Ферми должен находиться вблизи запрещенной зоны.

Принимается, что теплопроводность материала состоит из двух частей:  $k = k_e + k_l$ , где  $k_l$  – теплопроводность упругих колебаний решетки (или фононная теплопроводность  $k_{ph}$ ) и  $k_e$  – теплопроводность свободных электронов. Решеточная теплопроводность в кристаллических телах в ос-

новном осуществляется фононами, тогда как диффузионные явления считаются важной колебательной единицей в аморфных твердых телах.

Учет сильного фононного ангармонизма взаимодействия атомов в кристалле может приводить к появлению взаимодействия фононов. Такие процессы могут дать вклад в ограничение теплопроводности материала.

Путем замещения в катионной и/или анионной подрешетках в  $\text{TlInTe}_2$  возможно изменить влияние неосновных носителей заряда на термоэлектрические свойства. На рис. 6а, б представлены зависимости электронной и фононной теплопроводности при различных значениях  $n$  (концентрация носителей) и  $T$ . Из рис. 6а, б следует, что кристаллы  $\text{TlInTe}_2 p$ - и  $n$ -типа имеют низкую решеточную теплопроводность от 0.37 до 0.6  $\text{B}/(\text{м К})$  при комнатной температуре. Таким образом, низкую решеточную теплопроводность  $\text{TlInTe}_2$  при комнатной температуре связывают с сильным фононным ангармонизмом структуры [3, 4].

Необычное поведение решеточной теплопроводности кристаллов  $\text{TiXTe}_2$  ( $X = \text{Ga}, \text{In}$ ) согласно [26] не могут быть охарактеризованы только фононами или диффузонами явлениями. Расчетное значение  $k_{ph}$ , основанное на первопринципах теории функционала плотности и квазиклассическом уравнении переноса Больцмана (БТЕ), составляет лишь половину экспериментального значения. Предлагается, что слабая связь между атомами  $\text{Ti}$  и цепочками  $\text{XTe}_2$  приводит к сильному колебательному ангармонизму, который подавляет длину свободного пробега большой части фононных мод ниже предела Иоффе–Регеля. Такой ангармонизм нарушает условие квазикласси-

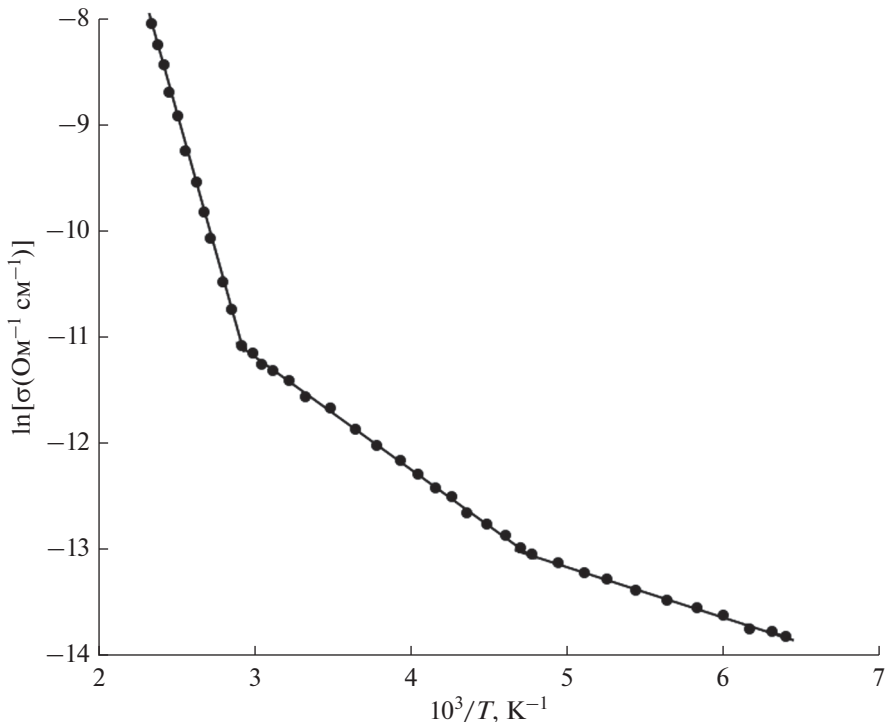


Рис. 7. Температурная зависимость проводимости кристалла  $p$ -TlInTe<sub>2</sub> вдоль кристаллографической  $c$ -оси.

ческого БТЭ. Низкий  $k_{ph}$  TlXTe<sub>2</sub> ( $X = Ga, In$ ) можно объяснить с помощью двухканальной транспортной модели.

### 3.2.2. Электрические свойства

На рис. 7 представлена экспериментально полученная температурная зависимость проводимости кристалла  $p$ -TlInTe<sub>2</sub> вдоль кристаллографической  $c$ -оси в области температур 148–430 К [5].

Указанная зависимость состояла из трех участков. По наклону высокотемпературной ветви зависимости  $\sigma(10^3/T)$  в TlInTe<sub>2</sub> мы определили энергию активации проводимости, которая соответствовала значению ширины запрещенной зоны в  $p$ -TlInTe<sub>2</sub>  $E_g = 0.94$  эВ. В области температур 210–300 К проявлялся мелкий примесный уровень с энергией активации 0.1 эВ. При  $T < 210$  К температурная зависимость проводимости  $p$ -TlInTe<sub>2</sub> ослабевала и имела наклон примерно 0.04 эВ. Такой характер поведения проводимости в  $p$ -TlInTe<sub>2</sub> при низких температурах присущ прыжковому механизму переноса заряда с переменной длиной прыжка.

В вышеуказанном случае в  $p$ -TlInTe<sub>2</sub> ток переносится носителями заряда, находящимися в локализованных вблизи уровня Ферми состояниях. Такого типа проводимость наблюдается, в частности,

в легированных оловом TlInS<sub>2</sub> [19]. В запрещенной зоне таких материалов вблизи уровня Ферми имеется энергетическая полоса с высокой плотностью состояний. По этим состояниям осуществляются прыжки носителей заряда из одного локализованного состояния в другое. Это так называемая актиационная прыжковая проводимость.

Прыжковая проводимость в полупроводниковых материалах проявляется обычно при низких температурах, когда для наблюдения примесной, а тем более собственной проводимости еще не достигнута нужная температура. Температурная зависимость прыжковой проводимости подчиняется закономерности Мотта [27]:

$$\sigma \propto \exp\left[-(T_0/T)^{1/4}\right], \quad (3)$$

с наклоном

$$T_0 = \frac{16}{kN_F a^3}, \quad (4)$$

где  $N_F$  – плотность локализованных состояний вблизи уровня Ферми;  $a$  – радиус локализации волновой функции. Таким образом, проводимость полупроводников на постоянном токе адекватно описывается при помощи следующих двух параметров: плотности состояний на уровне Ферми и радиуса локализации волновой функции.

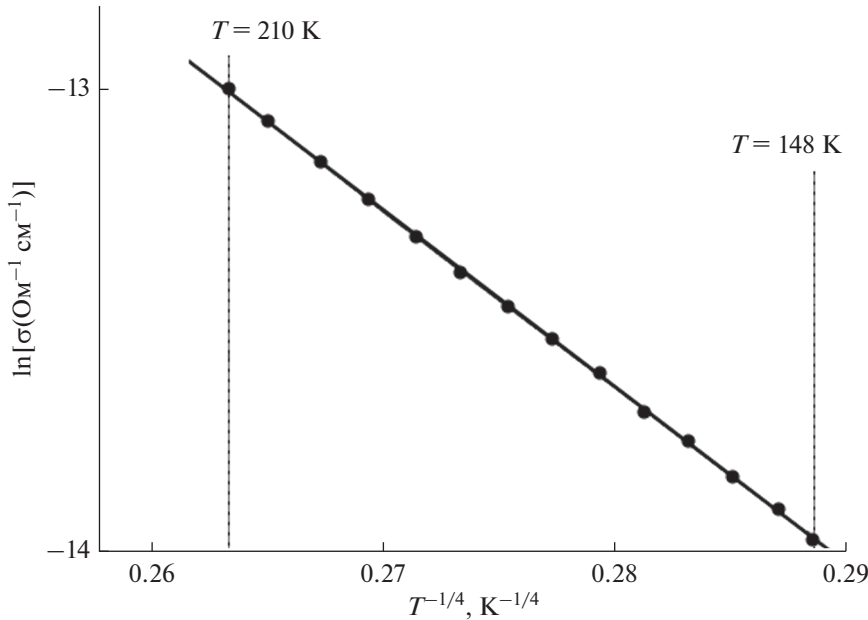


Рис. 8. Низкотемпературная зависимость  $\lg\sigma$  от  $T^{-1/4}$  для полупроводника  $p$ -TlInTe<sub>2</sub>.

Построенный нами график зависимости  $\lg\sigma$  от  $T^{-1/4}$  для образца  $p$ -TlInTe<sub>2</sub> в температурной области 148–210 К представлен на рис. 8. Из наклона зависимости  $\lg\sigma$  от  $T^{-1/4}$  определили значение  $T_0 = 3.6 \times 10^6$  К. По экспериментально найденному значению  $T_0$  из формулы (4) определили плотность локализованных состояний вблизи уровня Ферми в  $p$ -TlInTe<sub>2</sub>:  $N_F = 6.5 \times 10^{18} \text{ эВ}^{-1} \text{ см}^{-3}$ . При этом для радиуса локализации взято значение  $a = 20 \text{ \AA}$ .

По формуле [27]:

$$R = \frac{3}{8} a (T_0/T)^{1/4}, \quad (5)$$

в TlInTe<sub>2</sub> определено расстояние прыжков при различных температурах. Так, при  $T = 148$  К значение  $R$  составляло 94 Å, а при  $T = 210$  К  $R = 86$  Å, т.е. среднее расстояние прыжков ( $R_{av}$ ) в  $p$ -TlInTe<sub>2</sub> составляло 90 Å. Значение  $R_{av}$  в 4.5 раза превышало среднее расстояние между центрами локализации носителей заряда в  $p$ -TlInTe<sub>2</sub>.

По формуле [27]:

$$\Delta E = \frac{3}{2\pi R^3 N_F}, \quad (6)$$

оценели энергетический разброс ловушечных состояний вблизи уровня Ферми ( $\Delta E$ ). Значение  $\Delta E$  составляло 100 мэВ. Именно в этой энергетической полосе  $\Delta E$  в запрещенной зоне TlInTe<sub>2</sub> происходит прыжковый перенос заряда. При этом сред-

нее значение энергии активации прыжков ( $\Delta W$ ) в TlInTe<sub>2</sub>, определенное по формуле [28]:

$$\Delta W = \frac{(kT)^{3/4}}{\left[N_F a^3\right]^{1/4}}, \quad (7)$$

в температурном интервале  $T = 148$ –210 К, составляло  $\Delta W = 80$  мэВ.

Нами оценена также концентрация локализованных состояний ( $N_t$ ), ответственных за перенос заряда в  $p$ -TlInTe<sub>2</sub> на постоянном токе:

$$N_t = N_F \Delta E \quad (8)$$

Значение  $N_t$  составляло  $6.5 \times 10^{17} \text{ см}^{-3}$ .

#### 4. ВЫВОДЫ

DFT-моделирование зонной структуры, общей и парциальной плотности состояний (PDOS) позволили анализировать электронные свойства суперъячейки узкозонного полупроводника TlInTe<sub>2</sub>–V<sub>In</sub>, состоящей из 32 атомов и вакансий индия (V<sub>In</sub>). Расчетные параметры релаксированной решетки суперъячейки TlInTe<sub>2</sub>–V<sub>In</sub> с вакансией индия аналогичны данным для кристалла TlInTe<sub>2</sub> с тетрагональной сингонией:  $a = 8.111 \text{ \AA}$ ,  $c = 7.177 \text{ \AA}$ , пр. гр.  $P6_3/mmc$ , (194). Установлено, что зонная структура суперъячейки TlInTe<sub>2</sub>–V<sub>In</sub> с вакансией индия, как и объемных кристаллов TlInTe<sub>2</sub>, имеет непрямую энергетическую зону. Применение функционала GGA + U позволяет

корректировать несоответствия между DFT-расчетными и экспериментальными значениями ширинами запрещенной зоны  $E_g$  в  $\text{TIInTe}_2$ . За счет учета  $d$ -составий атомов  $\text{TIInTe}_2$  в PDOS завышается вклад ковалентной химической связи и энергетической зазор  $E_g$  сужается от 1.21 до 0.97 эВ. DFT-расчетная энергия образования нейтральной вакансией индия в суперьячейке  $\text{TIInTe}_2$  составляет 1.17 эВ. Расчетная энталпия образования  $\text{TIInTe}_2\text{-V}_{\text{In}}$  согласуется с данными для  $\text{TIInTe}_2$ .

При комнатной температуре  $p$ - и  $n$ -типа  $\text{TIInTe}_2$  имеют низкую решеточную теплопроводность, которая связана с сильным фононным ангармонизмом структуры. При температурах 148–210 К проводимость кристаллов  $p\text{-TIInTe}_2$  соответствует прыжковому механизму переноса заряда с переменной длиной прыжка. Определена плотность локализованных состояний вблизи уровня Ферми в  $p\text{-TIInTe}_2$ :  $N_F = 6.5 \times 10^{18} \text{ эВ}^{-1} \text{ см}^{-3}$ . Вычисленное среднее расстояние прыжков в  $p\text{-TIInTe}_2$  составляло 90 Å, а энергетический разброс ловушечных состояний вблизи уровня Ферми  $\Delta E = 100$  мэВ. Значение  $\Delta E$  согласуется с оцененным средним значением энергии активации прыжков ( $\Delta W$ ) в  $p\text{-TIInTe}_2$ , которое составляло  $\Delta W = 80$  мэВ. Оцененная концентрация локализованных состояний в запрещенной зоне  $p\text{-TIInTe}_2$  составляла  $N_t = 6.5 \times 10^{17} \text{ см}^{-3}$ .

## БЛАГОДАРНОСТИ

Работа выполнена при частичной поддержке Фонда развития науки при Президенте Азербайджанской Республики (EIF) (грант № EIF-BGM-4-RFTF-1/2017-21/05/1-M-07) и Российского фонда фундаментальных исследований (РФФИ) (проект 18-57-06001 № Az\_a2018).

## КОНФЛИКТ ИНТЕРЕСОВ

Авторы заявляют, что у них нет конфликта интересов.

## СПИСОК ЛИТЕРАТУРЫ

- Muller D., Eulenberger G., Hahn H.* Über ternare Thalliumchalkogenide mit Thalliumselenidstruktur // Zeitschrift Fur Anorganische Und Allgemeine Chemie. 1973. V. 398. № 2. P. 207–220.  
<https://doi.org/10.1002/zaac.19733980215>
- Al-Ghamdi A.A., Nagat A.T., Al-Hazmi F.S., Al-Heniti S., Bahabri F.S., Mobarak M.M., Alharbi S.R.* Growth and Electrical Characterization of  $\text{TIInTe}_2$  Single Crystal // Journal of the King Abdulaziz Univ. Sci. 2008. V. 20. P. 27–38.
- Ding G., He J., Cheng Z. X., Wang X., Li S.* Low lattice thermal conductivity and promising thermoelectric figure of merit of Zintl type  $\text{TIInTe}_2$  // Journal of Materials Chemistry C. 2018. V. 6. P. 13269–13274.  
<https://doi.org/10.1039/c8tc034>
- Jana M.K., Pal K., Warankar A., Mandal P., Waghmare U.V., Biswas K.* Intrinsic Rattler-Induced Low Thermal Conductivity in Zintl Type  $\text{TIInTe}_2$  // Journal of the American Chemical Society. 2017. V. 139. № 12. P. 4350–4353.  
<https://doi.org/10.1021/jacs.7b01434>
- Madelung O.* Semiconductors: Data Handbook. Springer-Verlag, Berlin, Heidelberg, New York. 3rd edition. 2004. 691 c. ISBN 978-3-642-62332-5
- Asadov M.M., Mustafaeva S.N., Mamedov A.N.* Dielectric Properties and Heat Capacity of  $(\text{TIInSe}_2)_1-x(\text{TiGaTe}_2)_x$  Solid Solutions // Inorganic Materials. 2015. V. 51. № 8. P. 772–778.  
<https://doi.org/10.1134/S0020168515080051>
- Asadov M.M., Mustafaeva S.N., Guseinova S.S., Lukichev V.F.* Ab Initio Calculations of the Electronic Properties and the Transport Phenomena in Graphene Materials // Physics of the Solid State. 2020. V. 62. № 11. P. 2224–2231.  
<https://doi.org/10.1134/S1063783420110037>
- Asadov M.M., Mustafaeva S.N., Guseinova S.S., Lukichev V.F.* Ab initio modeling of the location and properties of ordered vacancies on the magnetic state of a graphene monolayer // Physics of the Solid State. 2021. V. 63. № 5. P. 797–806.  
<https://doi.org/10.1134/S1063783421050036>
- Perdew J.P., Burke K., Ernzerhof M.* Generalized gradient approximation made simple // Physical Review Letters. V. 77. P. 3865–3868.  
<https://doi.org/10.1103/PhysRevLett.77.3865>
- Monkhorst H.J., Pack J.D.* Special points for Brillouin-zone integrations // Physical Review B. 1976. V. 13. № 12. P. 5188–5192.  
<https://doi.org/10.1103/physrevb.13.5188>
- Mustafaeva S.N., Asadov M.M., Guseinova S.S., Dzhabarov A.I., Lukichev V.F.* Electronic, dielectric properties and charge transfer in a  $\text{TiGaS}_2:\text{Nd}^{3+}$  single crystal at direct and alternating current // Physics of the Solid State. 2022. Vol. 64. No. 4. P. 432–439.  
<https://doi.org/10.21883/PSS.2022.04.53497.251>
- Hubbard J.* Electron Correlations in Narrow Energy Bands. Proceedings of the Royal Society A: Mathematical, Physical and Engineering Sciences. 1963. V. 276. № 1365. P. 238–257.  
<https://doi.org/10.1098/rspa.1963.0204>
- Peles A.* GGA + U method from first principles: application to reduction–oxidation properties in ceria-based oxides // Journal of Materials Science. 2012. V. 47. № 21. P. 7542–7548.  
<https://doi.org/10.1007/s10853-012-6423-1>
- Born M., Mayer J.E.* Zur Gittertheorie der Ionenkristalle // Zeitschrift für Physik. 1932. Vol. 75. No 1–2. P. 1–18.  
<https://doi.org/10.1007/bf01340511>
- Mustafaeva S.N., Gasymo Sh.G., Asadov M.M.* Electrical properties of  $\text{TiGaTe}_2$  single crystals under hydrostatic pressure // Journal of Physics and Chemistry of Solids. 2011. V. 72. № 6. P. 657–660.  
<https://doi.org/10.1016/j.jpcs.2011.02.007>

16. Mustafaeva S.N., Gasymo Sh.G., Asadov M.M. DC-Electrical Properties of TlGaTe<sub>2</sub> Single Crystals under Hydrostatic Pressure // Physics Research International. 2011. Article ID 513848. P. 1–5.  
<https://doi.org/10.1155/2011/513848>
17. Mustafaeva S.N., Gasymo Sh.G., Asadov M.M. Conductivity anisotropy of a TlGaTe<sub>2</sub> chain single crystal under hydrostatic pressure // Physics of the Solid State. 2012. Vю 54. № 1. P. 44–47.  
<https://doi.org/10.1134/s1063783412010246>
18. Mustafaeva S.N., Asadov M.M., Ismailov A.A. Effect of gamma irradiation on the dielectric properties and electrical conductivity of the TlInS<sub>2</sub> single crystal // Physics of the Solid State. 2009. V. 51. № 11. P. 2269–2273.  
<https://doi.org/10.1134/s1063783409110122>
19. Мустафаева С.Н., Асадов М.М., Гусейнова С.С., Гасанов Н.З., Лукичев В.Ф. Ab initio расчеты электронных свойств, частотная дисперсия диэлектрических коэффициентов и край оптического поглощения монокристаллов TlInS<sub>2</sub> $\langle$ Sn $\rangle$  // Физика твердого тела. 2022. Т. 64. Вып. 6. С. 628–638.  
<https://doi.org/10.21883/FTT.2022.06.52388.299>
20. Job G., Rüffler R. Physikalische Chemie. Vieweg + Teubner Verlag. Springer Fachmedien Wiesbaden GmbH. 2011. ISBN 978-3-8351-0040-4
21. TlInTe<sub>2</sub>. ID:mp-22791 // <https://materialsproject.org/materials/mp-22791/>
22. Wakita K., Shim Y., Orudzhev G., Mamedov N., Hashimzade F. Band structure and dielectric function of TlInTe<sub>2</sub> // Phys. Status Solidi A, 2006. V. 203. № 11. P. 2841–2844.  
<https://doi.org/10.1002/pssa.200669566>
23. Thermoelectrics Handbook. Macro to Nano. Ed. D.M. Rowe. CRC. Taylor & Francis Group, LLC. Boca Raton, US. (2006). 954 p. ISBN13: 978-0-8493-2264-8.
24. Sofo J.O., Mahan G.D. Optimum band gap of a thermoelectric material // Physical Review B. 1994. V. 49. № 7. P. 4565–4570.  
<https://doi.org/10.1103/PhysRevB.49.4565>
25. Matsumoto H., Kurosaki K., Muta H., Yamanaka S. Systematic investigation of the thermoelectric properties of TIMTe<sub>2</sub> (M = Ga, In, or Tl) // Journal of Applied Physics, 2008. V. 104. № 7. P. 073705–4.  
<https://doi.org/10.1063/1.2987471>
26. Wu M., Enamullah, Huang L. Unusual lattice thermal conductivity in the simple crystalline compounds TlXTe<sub>2</sub> (X = Ga, In) // Physical Review B. 2019. V. 100. № 7. P. 075207–.  
<https://doi.org/10.1103/PhysRevB.100.075207>
27. Mott N.F., Davis E.A. Electronic Processes in Non-Crystalline Materials, 2nd ed. (Oxford Univ. Press, New York, 2012). ISBN 978-0-19-964533-6
28. Shklovskii B.I., Efros A.L. Electronic Properties of Doped Semiconductors. Springer Series in Solid-State Sciences. Heidelberg. 1984. 388 p. ISBN 978-3-662-02405-8